道路利用者の視点から見た高速道路の 平坦性について

川村 彰 · 七五三野 茂 · 鈴木一隆 · 木村篤史 4

「正会員 工博 北見工業大学助教授 工学部土木開発工学科(〒090-8507 北見市公園町 165番地) ²正会員 工博 日本道路公団 試験研究所舗装研究室長(〒194-8508 東京都町田市忠生1丁目4番地) ³正会員 工博 日本道路公団 試験研究所舗装研究室(〒194-8508 東京都町田市忠生1丁目4番地) ⁴網走市役所 建設部都市開発課(〒093-8555 網走市南6条東4丁目)

路面の平坦性は、路面性状の中で最も道路利用者費用と密接な関係があるといわれている。本研究は、道路の安全性・快適性を含み、複雑化・高度化している高速道路利用者のニーズに対応する技術指針策定の一助となることを目的としている。本研究は、1)高速道路の平坦性調査および2)高速走行時における路面と車の相互作用解析から構成されている。最初に、高速道路4路線で縦断プロファイル測定を実施し、既存の平坦性評価指標による路面の現状把握を行った。 続いて、被験者による乗り心地評価を行い、平坦性指標と乗り心地との関連を検討した。最後に、車線乗移り走行試験を実施し、試験結果を基に路面が車の操安性に及ぼす影響把握に有用となる車の運動モデルを作成した。

Key Words: Road surface evaluation, IRI, Stability and control, Panel rating, Ride quality, Simulation

1) はじめに

近年、レーザセンサ等の光学的装置を用いた非接触測定技術の導入や計算機によるデータ処理技術の向上により、路面のプロファイル測定の高速化・効率化が、飛躍的に向上した。これら高速プロフィロメータの出現により、 道路ネットワーク上の平坦性をモニターすることが、より迅速に行われるようになってきている。

一方,路面プロファイルから得られる平坦性は,舗装のマネジメントシステムを構築する上で,道路利用者費用と最も密接に関係あるとされ,走行時の安全性,快適性のみならず車両のオペレーティングコストにも大きく影響を及ぼしている。

現在、建設されている第二東名・名神高速道においては、設計速度 140km/h で設計されており、今後予想される高速走行に対応し、かつ道路利用者の視点に立脚した路面性状評価方法の確立ならびに路面管理基準の見直しを計ることは、今後の高速道路整備計画において急務とされる課題である。

このことから、本研究は、高速道路の平坦性に 関する実態調査、実車走行試験結果に基づく車の 運動シミュレーションを通じて、道路の走行安全 性・快適性を考慮した路面管理基準作成のための方 策を検討するものである。

本研究は1)高速道路の平坦性の現状調査および 2)高速走行時における路面と車の相互作用解析から構成されている。

1)では、昨年高速道路4路線に関して高速プロフィロメータによる縦横断プロファイル測定を実施し、既存の平坦性評価指標(IRIや RN、わだち掘れ深さなど)を用いて高速道路路面の現状把握を行った。

また、同一路面に対して被験者による乗り心地評価を実施し、平坦性指標と被験者による乗り心地評価との相関性について解析を行い、IRIの乗り心地管理指標への適用性について考察した。

2)では、わだち掘れが発生している高速道路の一区間において、車線乗移り試験を実施し、わだち掘れが車の車線乗移り挙動に及ぼす影響について、実車による測定を行った。

その結果を基に、 わだち掘れが車の操縦性・安 定性に及ぼす影響評価のための車の運動モデルを作 成し、 計算機シミュレーションより車の操安性解 析への適用性について検討を行った。

2) 高速道路の平坦性調査と乗り心地評価

現在供用中の高速道路において、路面性状測定車で縦横断プロファイルを測定し、測定区間の路面性状を把握するとともに、被験者による乗り心地評価を実施した。また、測定結果を基に平坦性評価指標を乗り心地の管理指標としての適用性について、検討を行った。

(1) 路面プロファイルの測定

今回の調査で用いた路面性状測定車は、縦断プロファイル測定に関しては、非接触光学変位計オプトケータと加速度計を検出装置にした非接触型であり、路面性状測定車の測定条件を表-1に示す。また、測定対象として選定した路線は 4 路線であり、表-2 にそれを示す。

なお、測定結果の精度、信頼性を確認する意味で従来使用されている 3m プロフィロメータ、 横断プロフィロメータを用いた低速測定も一部の測定区間で併用している。測定は、1998 年 9 月~1999年 2 月にかけて行われた。

表-1 路面性状車の測定条件

項 目	基準		
測定速度	80km/h以上		
縦断プロファイル測定間隔	10cm (縦断方向)		
縦断測定位置	左側わだち部		
横断プロファイル測定間隔	10cm (横断方向)		
横断測定位置	10m間隔 (縦断方向)		

表-2 測定区間

道路名	測定区間(kp)	上下	車線	延長 (km)
館山道	41.0 ~ 65.8	下	走行	24.8
中央道	105.5 ~ 124.4	下	走行	18.9
常磐道	5.0 ~ 51.6	下	第一	46.6
東北道	55.0 ~91.6	下	第一	36.6
合計				126.9

(2) 平坦性指標による評価

前述の測定路面の平坦性を把握するために, 縦断 プロファイルについては *IRI* (International Roughness Index) ^{1)・2)} 及び *RN* (Ride Number) ³⁾を用いて評価を行った。

IRI は、各国や機関によって異なるラフネスを共通化する目的で、1986年に世界銀行から提案されたラフネスの評価基準である。2軸4輪の乗用車の1輪だけを取り出したクォーターカー(Quarter Car)を一定の速度で路面上を走行させた時の車が受ける上下方向の運動変位の累積値と走行距離との比を、その路面の IRI としている。よって、この IRI の大

きいほうが、路面の凹凸が大きく、悪い状態であることを意味している。研究段階ではあるが、国内においても、一般道路⁴⁾ や空港滑走路⁵⁾ で IRI を用いた路面評価が実施されるようになってきている。 IRI による路面評価図を図-1 に示す。

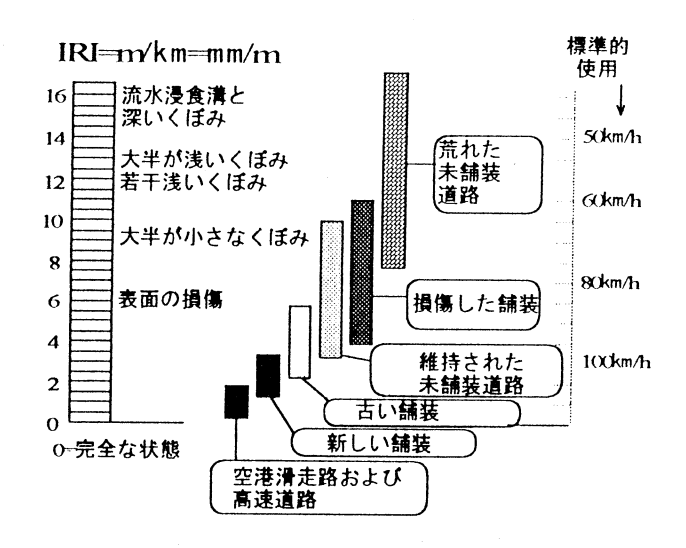


図-1 路面状態と IRIの関係

RN は路面変位の RMS 値(二乗平均値の平方根)に相当する Profile Index から、 Eq(1)によって導かれるもので、 利用者の快適さを表したものである。

RN は、被験者による 5 段階評価結果に基づき 開発されており、その値が大きいほど路面性状が 良好に保たれていることを意味する。両指標は、プロファイルデータから平坦性を評価する指標として、現在国際的に最も利用されている指標であり、今回測定された路面性状について国際間比較にも 今後適用可能である点を考慮の上、採用した。

$$RN = 5e^{18.65PI^{0.94}} ag{1}$$

図-2 から図-5 に評価結果の一部を示す。

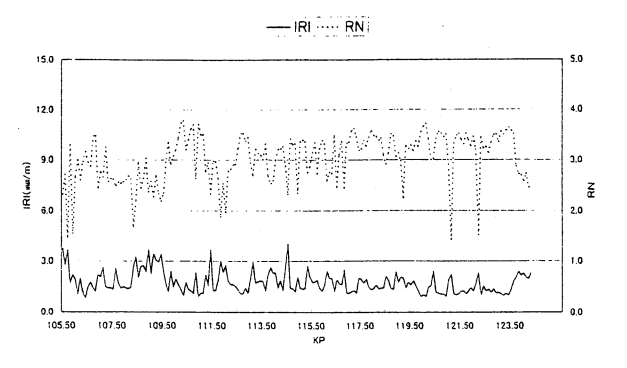


図-2 IRIと RNによる平坦性評価(中央道)

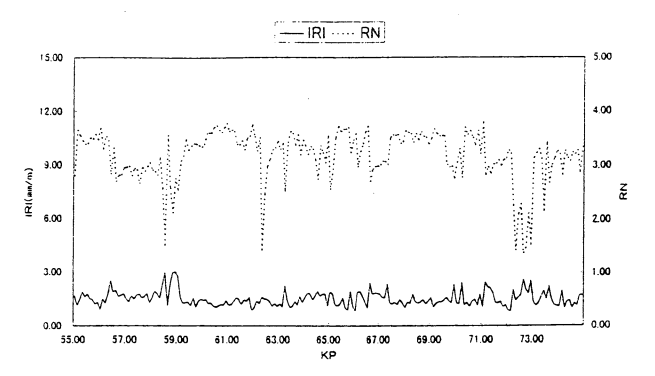


図.3 IRIと RNによる平坦性評価 (東北道)

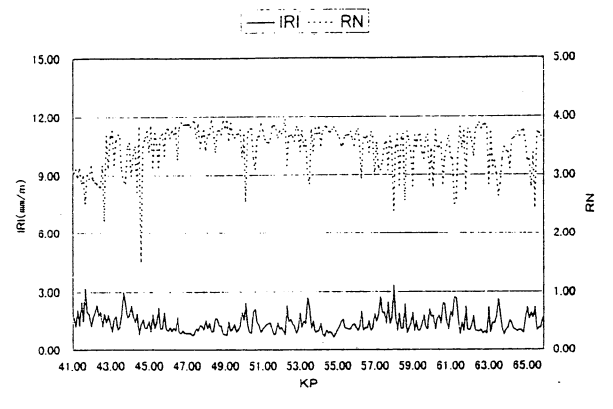


図-4 IRIと RNによる平坦性評価(館山道)

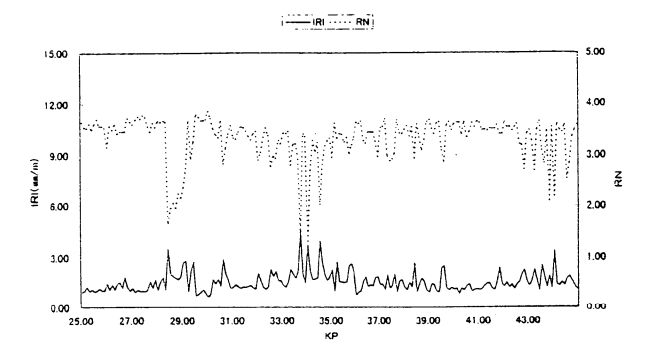


図-5 IRIと RNによる平坦性評価(常磐道)

図の測定プロファイルは、OWP(Outer Wheel Path)であり、IRI では路面の評価対象波長成分を考慮して、100m 評価区間毎の running IRI により計算している。一般傾向として、IRI が大きくなると RN は小さくなり、またその逆もありえるが、測定では、4 路線の全体を通じて IRI の平均は 1.5 前後、RN は 3 前後の値を有している。これは、IRI では「新しい舗装」の評価区分に、RN では「FAIR」~「GOOD」の評価区分に相当しており実感との対応も良い。

しかしながら局所的に路面を見た場合, 常磐自動車道では IRI が 4.6, RN が 1 以下のものも見受けられ, 乗り心地に悪影響を与えていると推察される。測定路面について, 平坦性指標間の相関について分析した図を図-6 に示す。

IRI は線形性を有する指数である一方, RN は非線形性を有すること。また, 両指数の路面解析対象周波数特性が異なるために, 極めて高い相関が得られる結果とはなっていない。

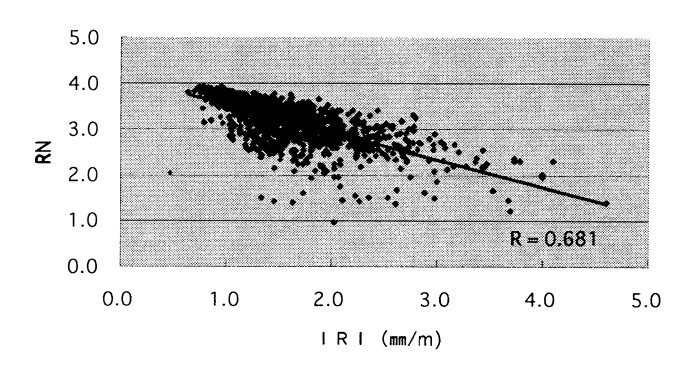


図-6 IRIと RNとの相関関係

(3) 被験者による乗り心地評価

舗装路面の乗り心地に関する被験者による評価は、 道路の利用者による路面評価手法の代表的なもので あり、AASHO 道路試験⁶⁾を起に、これまで各国 で数多く実施されてきている。1998 年 12 月に、被 験者として 36 名の男女を普通乗用車の助手席に乗 せ、先に測定した高速道路の乗り心地の主観評価 を実施するとともに、前節で用いられた平坦性指 標との相関分析を実施した。

今回のパネル評価の調査条件および評価対象区間について、表-3、4に示す。尚、対象区間は路面性状測定車の測定結果に基づき IRI 値が大きい区間から小さい区間まで適当に分散している区間を選定している。レーティングは、200m 区間ごとに実施しており、各路線毎の乗り心地評価結果を図-7,8,9,10に示す。

表-3 パネル評価の調査条件

工 5 7 1 7 7 1 1 1 1 1 1 1 1 1 1 1 1 1 1 1			
調査回数	1回(同種の乗用車3台使用)		
判定	5 段階		
調査員	1名/台 (延べ 36名)		
速度	80 km/h		
調査単位	2 0 0 m		
調査箇所数	1IC間の必要箇所とする		
調査員内訳	20代 : 男女各6名		
	30代 :男女各6名		
	40代 :男4名, 女2名		
	50代以上:男4名,女2名		
	計 : 36名		
対象車両	普通乗用車 :日産サニー1500F		
	E		

表-4 パネル評価の対象区間

道路名	測定区間(kp)	上下	車線
中央道	106.0~113.0	下	走行
東北道	56.0~72.0	下	第一走行
常磐道	20.0 ~29.0	下	第一走行
館山道	53.0 ~59.0	下	走行

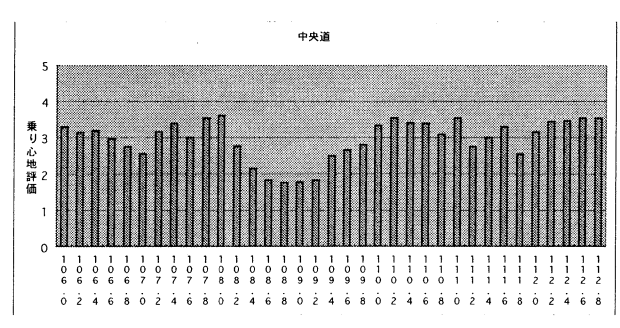


図-7 乗り心地評価(中央道)

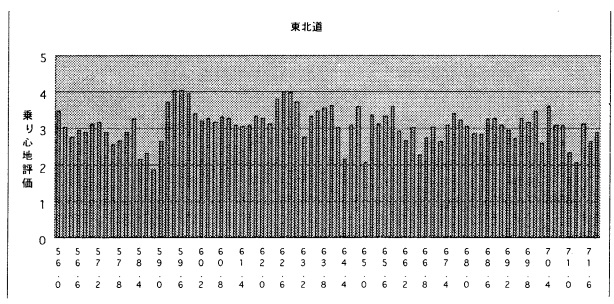


図-8 乗り心地評価(東北道)

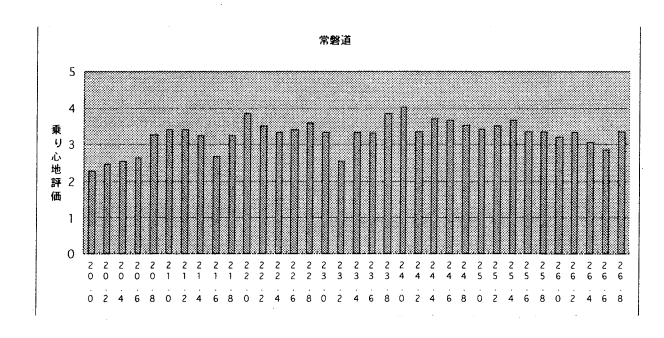


図-9 乗り心地評価(常磐道)

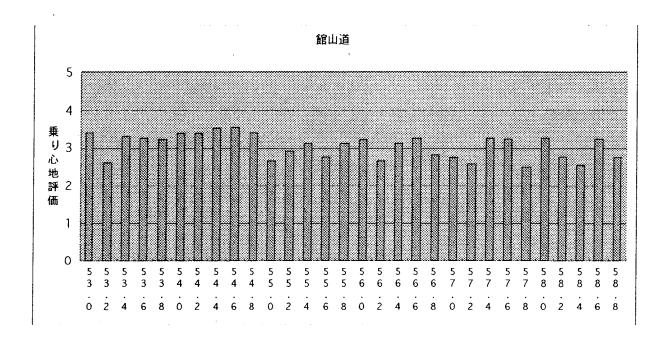


図-10 乗り心地評価(館山道)

総じて、3前後の値を有するが、区間によっては2 に低下する個所も見受けられ、路面の波状特性よりも段差等の局所的に特徴を変える個所の存在が評価に影響している。原因を特定するための追跡調査が今後必要かと思われる。

1) 年代の違いによる評価

被験者 36 人のデータを「20 代」から「50 代」まで 4 分割し、各々の平均値により年代による評価の相違について検討した。 路線別で見ると、図-11 からは主な特徴として、他の年代と比較して「40代」の評価が館山道を除いて一般的に乗り心地に対して、厳しい評価を行っている。

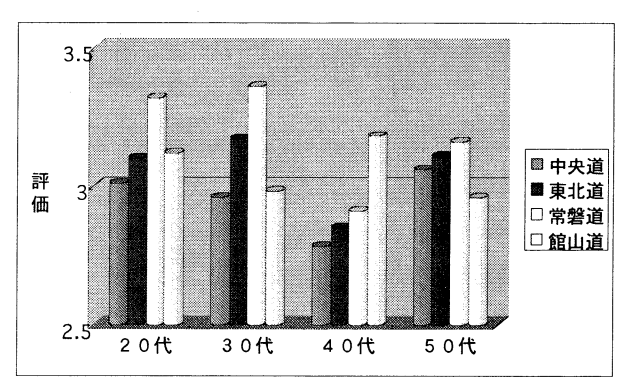


図-11 年代別評価(路線別)

2) その他の違いによる評価

性別や自動車運転免許保有の有無による評価の違いは, 結果に顕著に表れなかったものの, 免許の保有の有無では図-12 に見受けられるように, 免許保有者はやや良い評価を下す傾向にあるといえる。

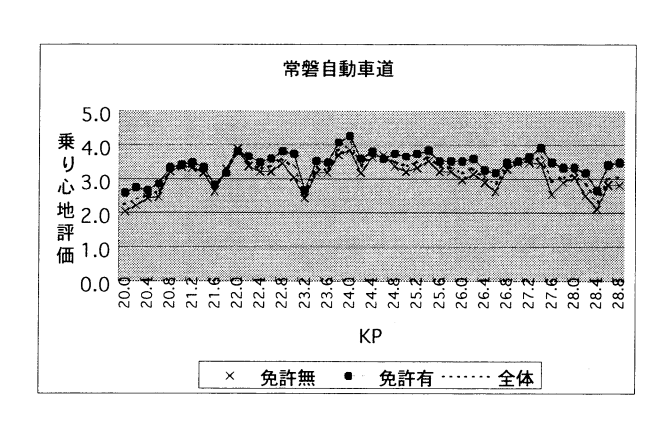


図-12 免許の有無による評価(常磐道)

3) 5段階評価の分布

被験者による評価は、各路線ともに「普通(評価3)」の評価が40%以上と多く、次いで「良い(評価4)」となり、どの路線でも同様な傾向を示している。 図-13 に示した 5 段階評価の分布図からもわかるように、評価は「普通」を中心とした山形を示しているが、中央道の「非常に悪い(評価1)」、常磐道の「非常に良い(評価5)」が、他の路線の分布割合と比較して高くなっており、路線の特徴を表現しているものと考えられる。

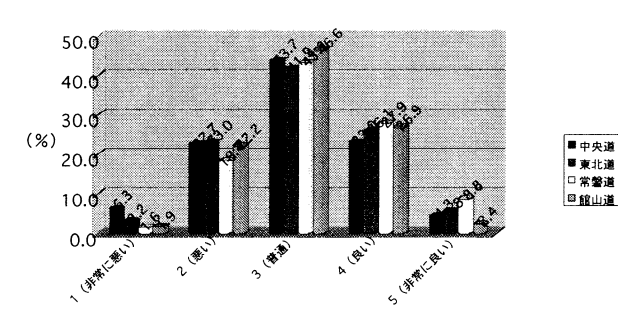


図-13 5段階評価の分布

(4) 平坦性指標と被験者評価値との相関分析

路面性状測定車による得られる路面の平坦性評価 指標と被験者による乗り心地評価との相関につい て、単回帰分析を行った結果を図-14,15に示す。

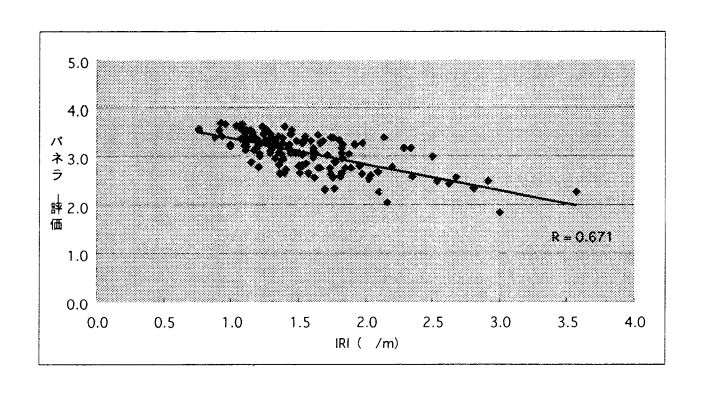


図-14 IRIと被験者評価との相関

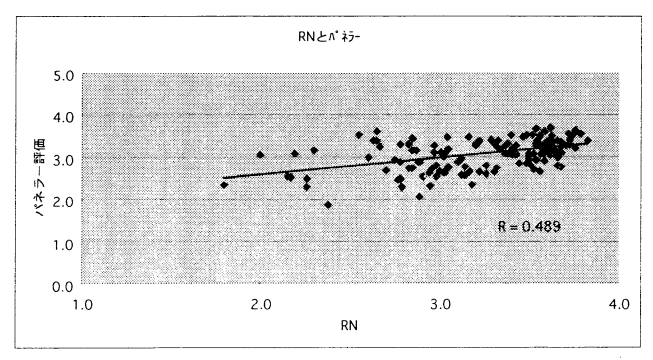


図-15 RNと被験者評価との相関

図は、全路線に対しての分析結果であるが、IRIと被験者評価では R=0.671 となり、この値は先に示した RN との相関係数の値とほぼ等しい。

RN と被験者評価とでは、R=0.489 と低い値を示した。この理由としては、被験者の 5 段階評価の分布が各路線ともに同様な傾向を示していること及び、各路線を同レベルで評価しきれないこと等が主な要因であるといえる。

(5) IRI の乗り心地管理指標への適用性

被験者評価で「良い」, 「悪い」と判定された 個所における IRI の度数分布を整理して, 乗り心地 の管理指標としての適応性について検討した。調査 手順は、以下の通りである。

手順1:被験者評価値(200m 区間毎)と *IRI*(50m 区間毎)の相関分析により、 相関の高い道路区間を求める。

手順 2:被験者評価の良い個所と悪い個所を抽出する。

選定条件は、以下の通りである。

良い個所…被験者評価4・5が50%以上 (36人中18人以上)の個所

悪い個所…被験者評価1・2が50%以上(36人中18人以上)

手順 3:被験者評価の良い・悪い個所における手順 1 で抽出した区間の *IRI* (10m 毎)の累積度数分布を求める。

管理基準を設定するための一手法として、上記手順による抽出個所の IRI の累積度数分布を利用した。図-16 により、被験者が「良い」と評価している IRI の分布は下限値で 0.0~2.0 の範囲で狭く、「悪い」と評価している分布は 0.0~7.0 と広範囲に及んでいる。ここで、累積値を管理基準と想定するための値を 85 パーセンタイル値とすると、被験者の主観的な評価が良いときの IRI は 1.0~1.5 となる。

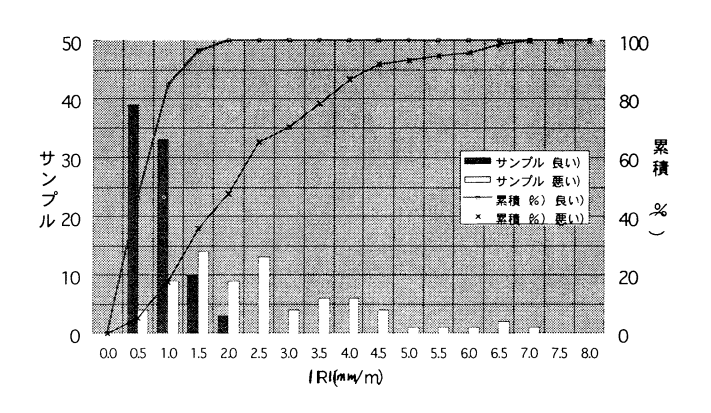


図-16 IRI(10m 毎)の度数分布

3) 高速走行時における車の操安性評価

運転者が車の操舵を行ってた際に、車が運転者の 意志通りに動いてくれる性能(操縦性)と走行時に 何らかの外乱が車に作用したとき、車のこれまで の進路を保持しようとする性質(安定性)は、高 速走行時の車の快適性のみならず、安全性に強く 影響を及ぼす。

特に、外乱には路面の凹凸が関係する場合も多い ことから、車の操縦性安定性に及ぼす路面性状把 握は、路面の管理基準を設定するうえでも、重要 な要因となる。

本研究では、高速道における路面が車の操安性(操縦性・安定性)に及ぼす影響解析を目的に、 わだちが発生している路面において、 実車による車線乗移り走行試験を実施した。

試験結果を基に、低自由度の車の操安性モデルを 構築し、路面が車の運動変数に及ぼす影響につい て、理論的把握を行った。

1) 車線乗移り走行試験

車線乗移り走行試験は、車の操安性を解析する際の代表的走行試験として、また運転者の操舵特性や事故回避性能を知るために用いられる試験であり、コース追従性、ロール特性、操舵のしやすさを評価要因として行われるのが一般的である。

今回の試験は、後述される車の操安性モデル構築の際の基礎データとなることを主目的としている。

車線乗り移り走行試験の測定条件,出力データ,測 定個所について表-5から7に示す。

表-5 乗移り走行試験の測定条件

項目	基準
サンプリング間	0.01秒
隔	
設置箇所	 ・車両重心位置における3軸方向ならびに各軸まわりの回転角の測定 ・前後車輪のばね下での上下方向加速度の測定(4個所) ・助手席シート部に約55kgのブロックを載荷させ、上下方向加速度の測定
	・ ハンドル位置における操舵角の測定
対象車両	普通乗用車:日産サニー1500FE
測定速度	80 km/h

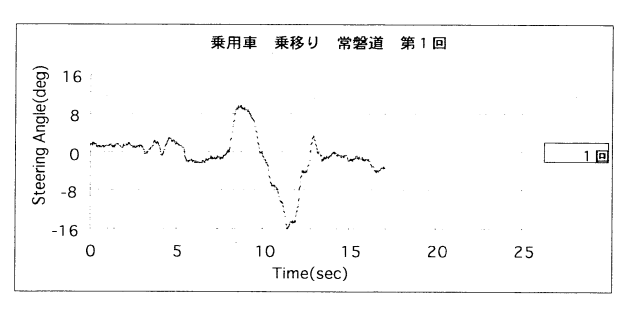
表-6 乗移り走行試験の測定データ

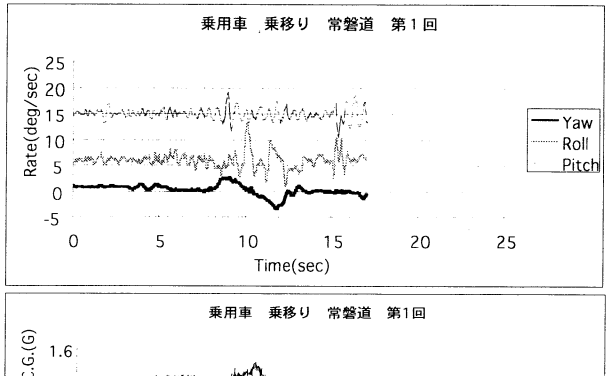
設 置 箇 所	出力データ
重心位置(C.G.)	・ 加速度(前後、 左右、 上下)
	・ 角速度(ロール, ピッチ, 方
	位)
	角度(ロール,ピッチ,方位)
車の前後の車軸中心位	・ 加速度(上下)
置	
助手席シート部	・ 加速度(上下)
ハンドル位置	・操舵角

表-7 乗移り走行試験箇所

道路名	測定区間	上	速度	乗移り	わだち掘
	(kp)	下	(km/h)	距離(m)	れ量(mm)
館山道	47.4 ~ 48.1	下	100	1 0 0	7. 0
	52.2 ~ 52.5			150	11.3
中央道	114.8~ 115.2	下	100	100	14.0
	119.6~ 119.9				18.0
常磐道	33.4 ~ 33.5	下	100	1 0 0	20.0
東北道	63.3 ~ 63.4	下	1 0 0	100	15.0
	68.5 ~ 68.7				10.0

また、測定結果の一部を図-17に示す。





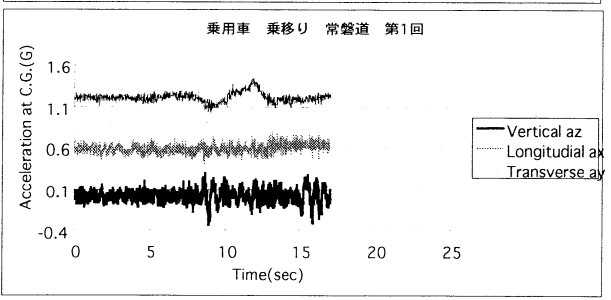


図-17 乗移り走行試験結果(常磐道)

結果より、わだち掘れ量が最も顕著な常磐道では、重心位置における前後・上下・左右方向変位加速度で最大 0.4g 程度に達している。図より、操舵角と車の重心位置における出力間では、横方向加速度およびヨーレイトにおいて、相関性の高いことが示されている。このことは、車の運動モデルを構築する際に、操舵角を入力、横方向加速度およびヨーレイトを出力としたとき、入出力間で、ある程度線形関係が成立することを保証するものと言える。このことから、横方向加速度とヨーレイトの RMS値とわだち掘れ深さとの相関について検討したところ、図-18 に示されるように横方向加速度については、相関性は見受けられなかった。このことは、わだち掘れ量が多くないことならびに乗移り距離の設定によるものと思われる。

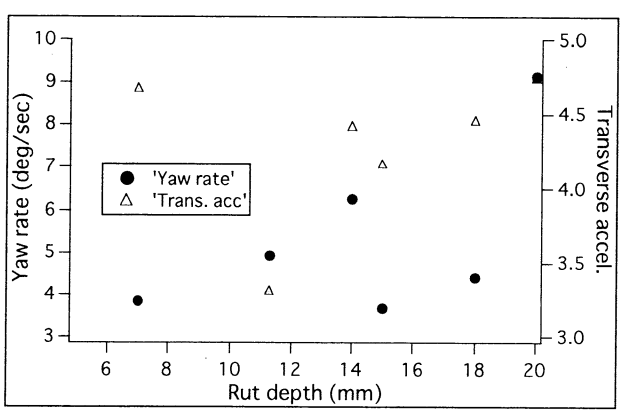


図-18 わだち掘れ深さと運動変数(RMS値)との相関

2) 車の操安性モデル

従来,自動車工学の分野では車の運動解析に数多くのモデルが開発されてきており、車と路面間の動特性分析に際しては、新たに解析モデルを開発するよりは、既存モデルを改良して用いるのが一般的である。 操安性に関する車の運動変数には、ヨーイングが多く用いられること、 先の測定結果より操舵角とヨーイングには線形性が見受けられることなどを考慮して、筆者らがこれまで一般路における操安性解析に用いた解析モデル⁷⁾ の諸元、 懸架方式を修正したモデルを本研究の解析モデルとして採用した。

本研究で用いたモデルは、図-19 で示される 3 自由度モデルであり、車の運動についての入力となる路面、出力(ここでは操舵角で代用される)となる運動変数に関して、入出力の相関把握が容易なように低自由度モデルを採用した。次式に運動方程式を示す。運動方程式は、車に作用する横方向の力のつり合い、ヨーイングモーメントの釣り合い、ローリングモーメントの釣り合い条件により作成される。

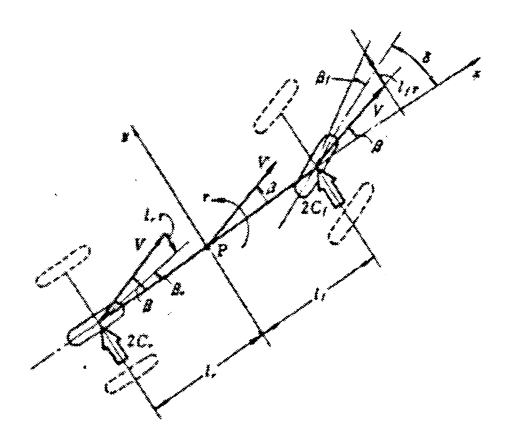


図-19 車の運動モデル (操舵部含まず)

$$\begin{split} & mV \cdot d\beta/dt + 2(K_f + K_r)\beta + \left(mV + 2\left(l_fK_f - l_rK_r\right)/V\right)\gamma - \\ & m_sh_s \cdot d^2\phi/dt^2 - 2\gamma_\phi\phi = 2K_f\delta \end{split}$$

 $2(l_f K_f - l_r K_r)\beta + I \cdot d\gamma/dt + 2(l_f^2 K_f + l_r^2 K_r)\gamma/V - 2N_\phi \phi = 2l_f K_f \delta$ (2)

 $-m_s h_s V \cdot d\beta/dt - m_s h_s V \cdot d\beta/dt - m_s h_s V \gamma + I_{\phi} \cdot d^2 \phi/dt^2 + c_{\phi} \cdot d\phi/dt + \left(K_{\phi} - m_s g h_s\right) \phi = 0$

(3)

(4)

ここで.

 δ :操舵角, ϕ :ロール角,I:ホイールベース, h_s : ロールアーム,If, Ir:それぞれ車両重心点と前後車軸間距離,I, I_o :車両全体のヨーイング慣性モーメントおよび車体のロール軸周りの慣性モーメント, β : すべり角, γ :ヨー角, γ_o , N_o : ロールステアに関する力,モーメント, K_o : ロール剛性係数, C_o : ロール粘性減衰係数,m: 車両全体質量, m_s : ばね上質量, h_s : ばね上重心点と車の進行方向軸との距離,V:車速

3) わだち掘れが車の操安性に及ぼす影響評価

先の走行試験で得られた操舵角のデータを基に, 4 次の Runge-Kutta 法により計算機シミュレーション を行った結果を図-20、21 に示す。

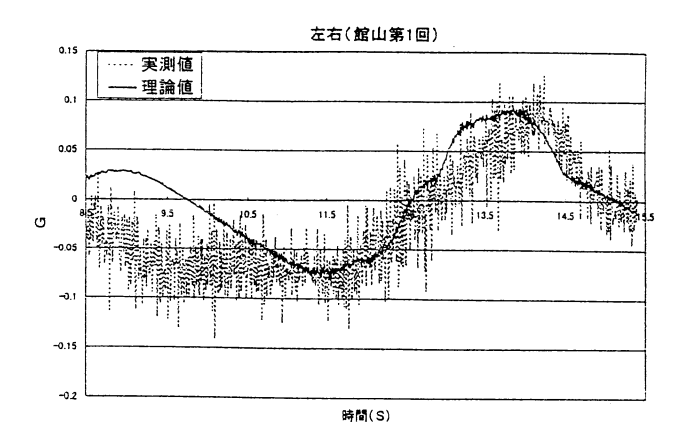


図-20 計算値と実験値との比較 (横方向加速度)

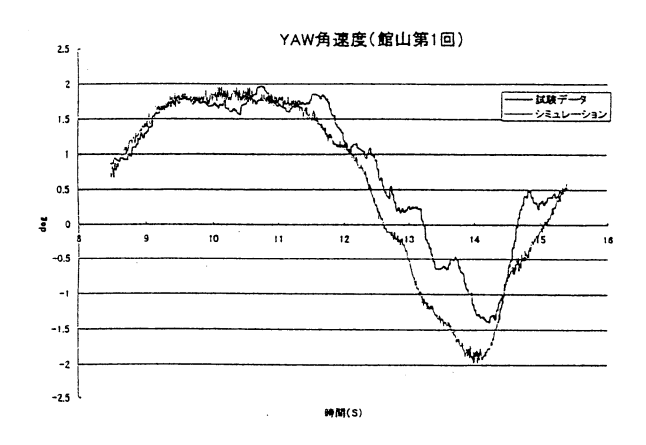


図-21 計算値と実験値との比較(ヨーレイト)

図より操安性関連の車の運動パラメータに関して、 走行試験結果とモデルによる計算結果の比較では、 概ね良い一致を確認できる。今回用いたモデルは、線 形モデルのためわだち掘れ深さとモデルの運動変数 との間に線形性が成立している状況下では、本モデルは有効であり、乗り心地に関係ある振動加速 度等の物理的評価基準 *^{1,9}から、快適性を損なわないためのわだち掘れ深さを予測することは可能である。路面の管理基準に応用するための課題として、高速走行に伴うタイヤ等の非線形特性が、走行速度、乗 移り距離、わだち掘れ深さのどの段階で顕著になるかなどを把握しておく必要があろう。

4) おわりに

本研究の成果を以下に要約する。

- ・ 高速道路 4 路線の縦横断プロファイル測定より平 世性評価を行った結果, running *IRI* は平均して 約 1.5 m/km, *RN* は約 3 であることが分かった。
- ・平坦性評価の行われた路線に関して、被験者に よる乗り心地評価を実施した結果、平均して 5 段階評価の 3 (普通)となった。評価に際して、 「免許の有無」による違いは顕著に認められなか った。

- ・ IRI の乗り心地管理指標への適用性について検討を行った結果、 被験者の主観的な評価が良いときの IRI は $1.0\sim1.5$ となった。
- ・わだち路面上での車線乗移り走行試験結果では、 乗用車の重心位置での横方向加速度の *RMS* 値と わだち掘れ深さとの相関性は認められない。
- ・車線乗移り走行時に車に作用する横方向加速度, ヨーレイトと操舵角との間には, ある程度線形 性が見受けられる。

参考文献

- Sayers, M., Gillespie, T.D., and Queiroz, C.: InteRNational experiment to establish correlations and standard calibration methods for road roughness measurements, World Bank Technical PapeRNo.45, The World Bank, Washington D.C., 1986.
- 2) Sayers, M., Gillespie, T.D., and Paterson, W.D.O.: Guidelines for conducting and calibrating road roughness measurement, World Bank Technical PapeRNo.46, The World Bank, Washington D.C., 1986
- Janoff, M.S.: Methodology for computing pavement ride quality from pavement roughness measurements, *JouRNal* of TRB Research Record, No.1084, 1986.
- 4) 秋本 隆, 姫野賢治, 川村 彰, 福原敏彦:舗装路 面の絶対プロファイルデータ収集システムの開発, 土 木学会論文集, No.606/V-41, 1998
- 5) 姫野賢治, 秋本 隆, 川村 彰, 福原敏彦:空港滑 走路面のプロファイル特性に関する研究, 土木学会 論文集, No.606/V-41, 1998
- 6) Highway Research Record: The AASHO Road Test, HRB Special Report 61-E, 1962
- 7) 川村 彰, 加来照俊:車 路面系の動挙動解析について, 土木学会北海道支部論文報告集, 第42号, 1986
- 8) ISO-2631-1: Mechanical vibration and shock-Evaluation of human exposure to whole-body vibration-Part 1, 1997
- 9) VDI Richtlinie 2057: Beurteilung der Einwirkung mechnischer Schwingungen auf der Menschen, 1987

INVESTIGATION ON ROAD EVENNESS OF EXPRESSWAYS FROM .THE POINT OF VIEW OF ROAD USERS

Akira KAWAMURA, Shigeru SHIMENO, Kazutaka SUZUKI, Atsusi KIMURA

The purpose of this study is to contribute making a technical guideline for the road administrators who are responsible for user s needs. In this study, road profiling by a high-speed profilometer is conducted over the expressways in Japan and the evaluation of road evenness is established using the roughness indicators such as *IRI* and *RN*. Furthermore, we studied the subjective evaluation of ride quality by means of a rating panel for the expressways. Finally, the dynamic behavior of the vehicle on the rutted road is examined by the lane change test experimentally and by use of a dynamic simulation model of the vehicle theoretically.